

Mouvement relatif de deux véhicules spatiaux

Application au Rendez-Vous spatial



*Jérôme BRAURE Justin MONTHEILLET Luciano TOMASSONI
Mastère TAS Astronautics – Mécanique Spatiale*

Plan

- (1) Introduction au mouvement relatif orbital: enjeux historiques et avenir
- (2) Les équations de Clohessy-Wiltshire
- (3) Application: contraintes et stratégies de rendez-vous d'une navette avec une station orbitale

Plan

- (1) Introduction au mouvement relatif orbital: enjeux historiques et avenir
- (2) Les équations de Clohessy-Wiltshire
- (3) Application: contraintes et stratégies de rendez-vous d'une navette avec une station orbitale

(1) Introduction au mouvement relatif orbital: enjeux historiques et avenir

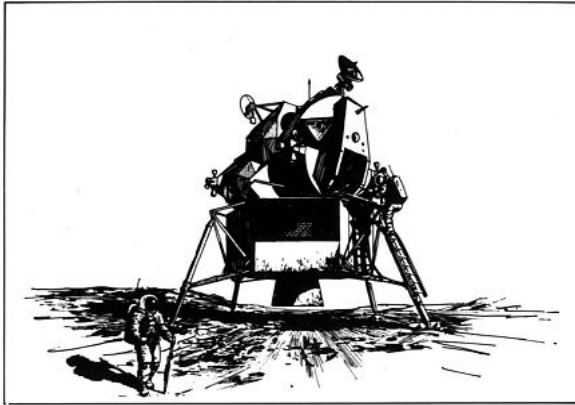
- Problème du mouvement relatif exploré pour la 1^{ère} fois par Hill en 1878
- Clohessy et Wiltshire formulent de manière pratique le travail de Hill au début des 60' s
- 1965: 1^{er} rendez-vous de 2 véhicules spatiaux habités (programme *Gemini*)

⇒ la faisabilité technique du rendez-vous spatial est démontrée
- 1969: 1^{ère} mission Apollo

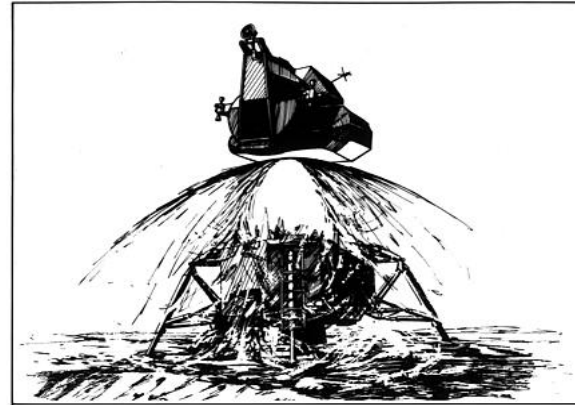


(1) Introduction au mouvement relatif orbital: enjeux historiques et avenir

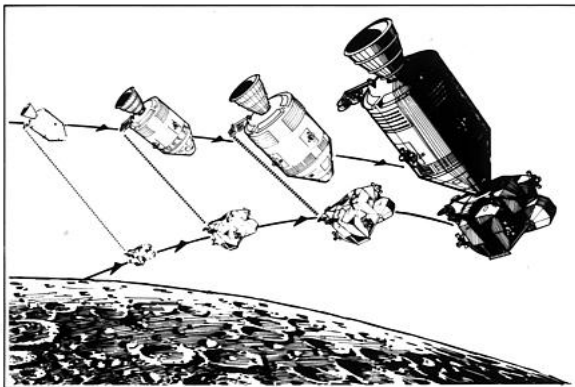
APOLLO 11 — Lunar Ascent And Rendezvous



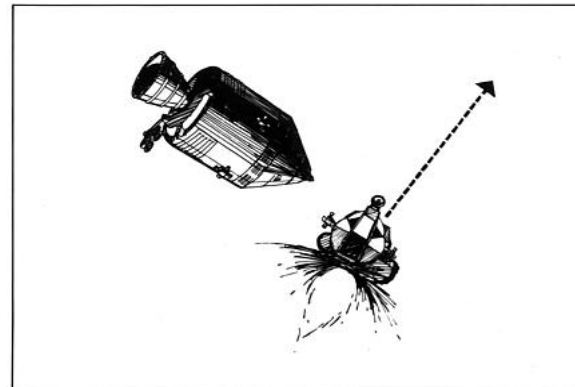
Return To Spacecraft



Ascent Stage Launch



Rendezvous And Docking



LM Jettison

⇒ rôle essentiel de la maîtrise du mouvement relatif

(1) Introduction au mouvement relatif orbital: enjeux historiques et avenir

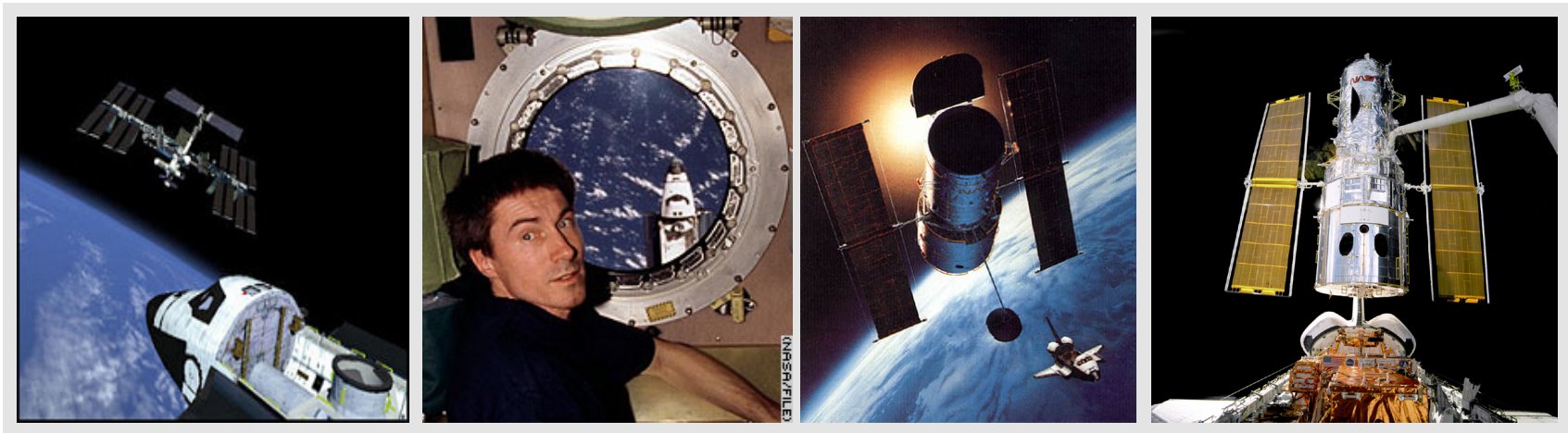
- 1975: 1^{er} rendez-vous spatial entre une capsule américaine et une capsule russe (Apollo-Soyuz)



⇒ Enjeux pacifiques qui présagent d'une ère de coopération spatiale internationale

(1) Introduction au mouvement relatif orbital: enjeux historiques et avenir

- De nos jours, mouvement relatif assez bien maîtrisé par les américains et les russes pour les missions courantes:

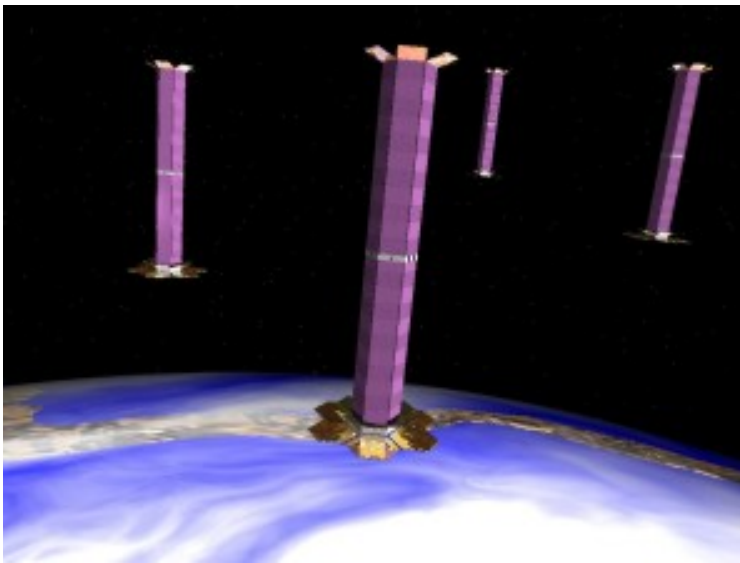
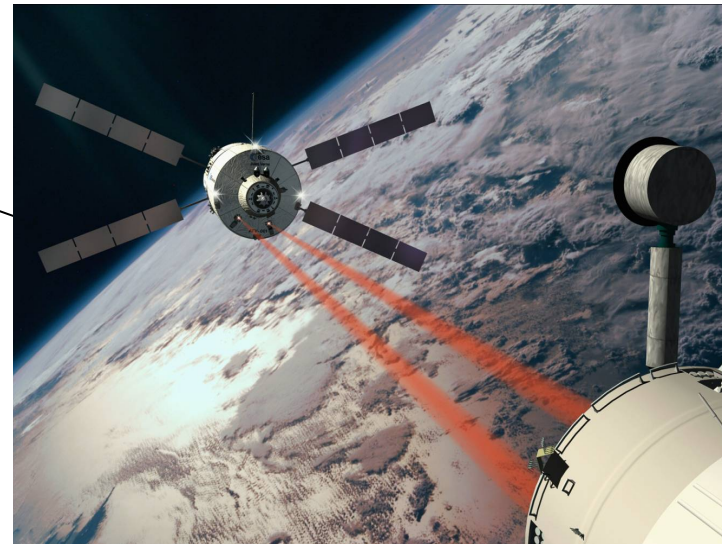


Rendez-vous du Shuttle/Soyuz avec l'ISS, réparation du Hubble Space Telescope, etc...

(1) Introduction au mouvement relatif orbital: enjeux historiques et avenir

- Exemples des enjeux futurs:

Rendez-vous ATV-ISS:
maîtrise européenne

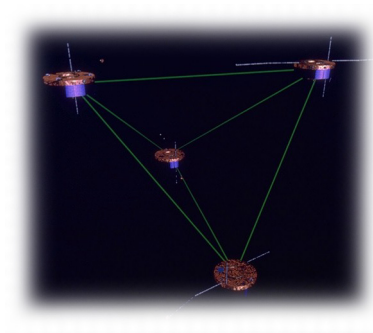


Vol en formation de satellites:
contrôle de la géométrie et
maintien des positions relatives

(1) Introduction au mouvement relatif orbital: enjeux historiques et avenir

⇒ Maîtrise du mouvement relatif orbital essentielle pour de nombreuses missions:

- desserte de stations spatiales
- réparation, ravitaillement ou récupération de systèmes orbitaux
- vol en formation de satellites



⇒ Optimisation des missions (sécurité, performances, temps, consommation d'ergols, ...) à partir de modèles de prévision du mouvement relatif.

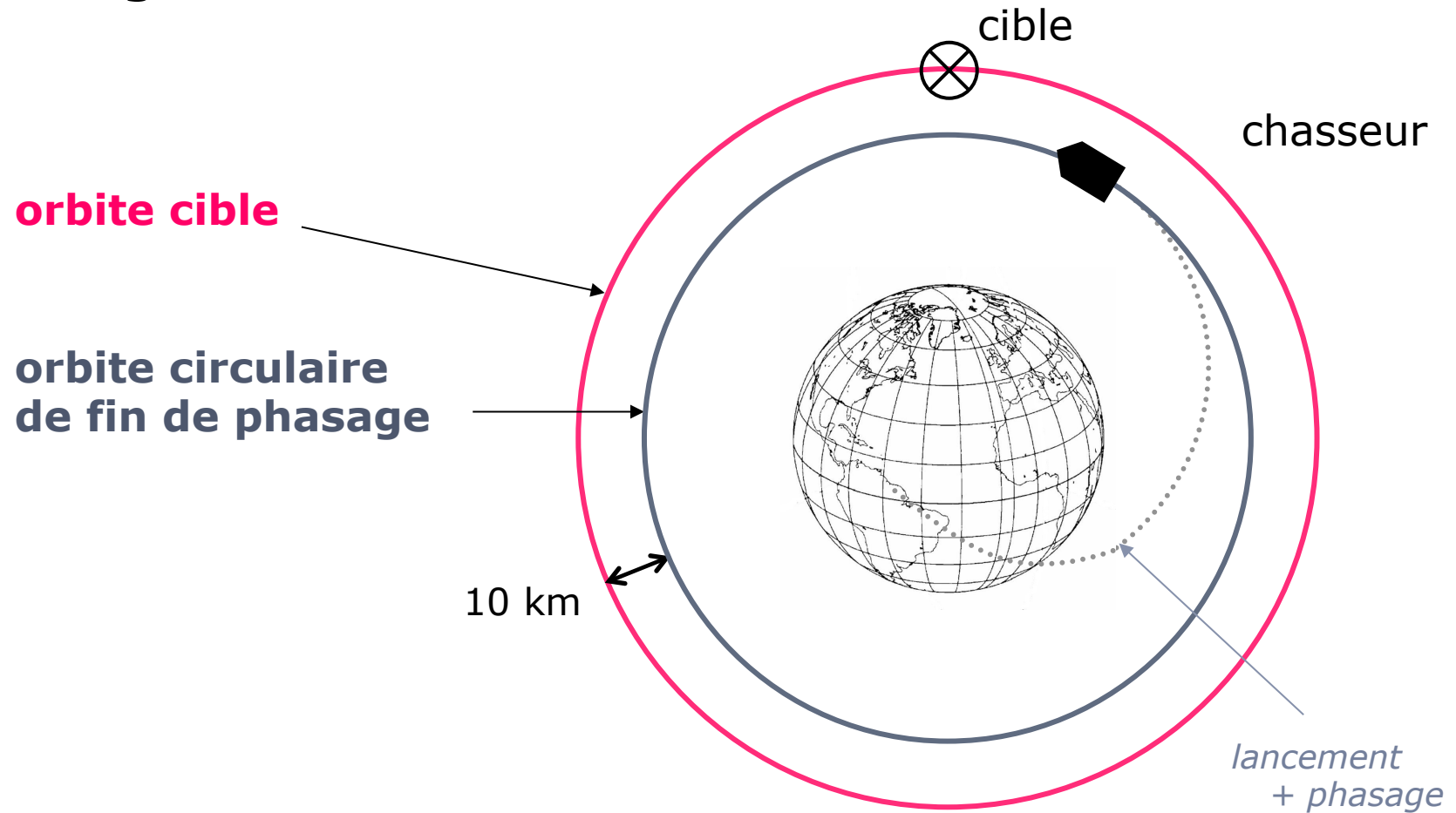
⇒ Contrôle du vol des engins spatiaux par des algorithmes de guidage basés sur le modèle de Clohessy-Wiltshire.

Plan

- (1) Introduction au mouvement relatif orbital: enjeux historiques et avenir
- (2) Les équations de Clohessy-Wiltshire
- (3) Application: contraintes et stratégies de rendez-vous d'une navette avec une station orbitale

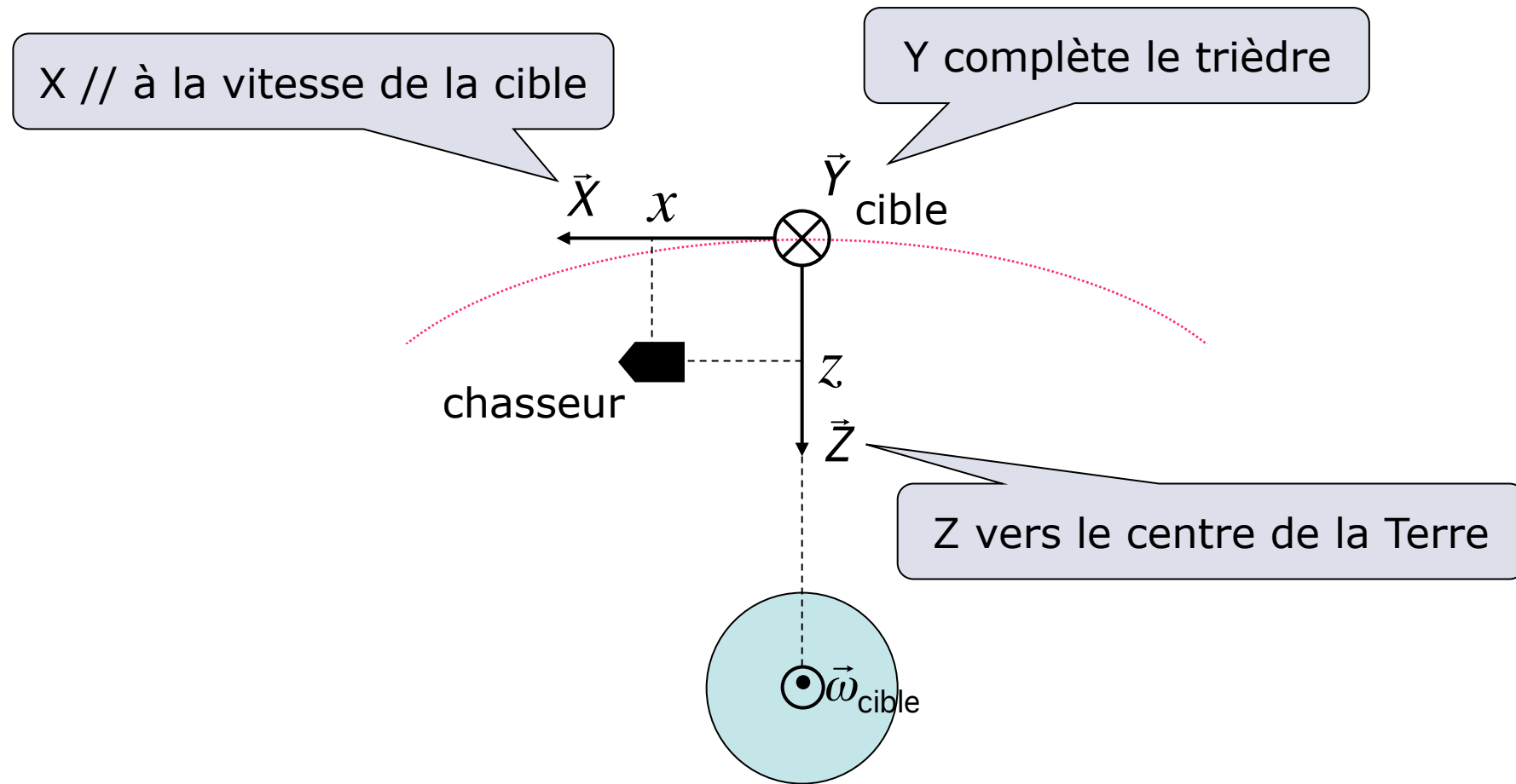
(2) Les équations de Clohessy-Wiltshire

Configuration étudiée:



(2) Les équations de Clohessy-Wiltshire

Le repère cible:



(2) Les équations de Clohessy-Wiltshire

Système des équations de Clohessy-Wiltshire (CW):

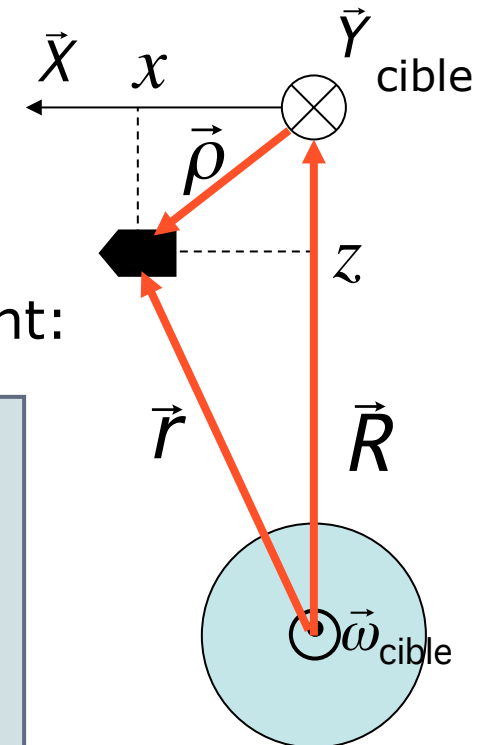
- PFD: $\vec{F} = m\vec{\gamma}$

$$\vec{\gamma} = \ddot{\vec{r}} = \underbrace{\frac{-\mu}{r^3}\vec{r}}_{\text{force centrale}} + \underbrace{\Delta\vec{\gamma}}_{\text{perturbations}}$$

$$\vec{r} = \vec{R} + \vec{\rho} \quad \text{avec } \vec{\rho} \ll \vec{r}, \vec{R}$$

- Après développement au 1^{er} ordre on obtient:

$$(CW) \quad \begin{cases} \ddot{x} - 2\omega\dot{z} &= \Delta\gamma_x \\ \ddot{y} + \omega^2 y &= \Delta\gamma_y \\ \ddot{z} + 2\omega\dot{x} - 3\omega^2 z &= \Delta\gamma_z \end{cases}$$



(2) Les équations de Clohessy-Wiltshire

Etude du système de CW:

$$(CW) \quad \left\{ \begin{array}{lcl} \ddot{x} - 2\omega\dot{z} & = & \Delta\gamma_x \\ \ddot{y} + \omega^2 y & = & \Delta\gamma_y \\ \ddot{z} + 2\omega\dot{x} - 3\omega^2 z & = & \Delta\gamma_z \end{array} \right.$$

ω = pulsation orbite cible

$\Delta\vec{\gamma}$ = accélérations différentielles perturbatrices

- commandes de poussée
- termes zonaux et tesseraux du potentiel terrestre
- traînée atmosphérique
- pression de radiation solaire
- attraction luni-solaire
- etc...

(2) Les équations de Clohessy-Wiltshire

Etude du système de CW:

$$(CW) \quad \left\{ \begin{array}{lcl} \ddot{x} - 2\omega\dot{z} & = & \Delta\gamma_x \\ \ddot{y} + \omega^2 y & = & \Delta\gamma_y \\ \ddot{z} + 2\omega\dot{x} - 3\omega^2 z & = & \Delta\gamma_z \end{array} \right.$$

- Décrit le mouvement du chasseur dans le repère cible
- Système d'équations différentielles couplées non-linéaires
- Décorrélation des mouvements plan (X,Z) et hors plan (Y)
- Validité: orbites quasi-circulaires, chasseur et cible proches

(2) Les équations de Clohessy-Wiltshire

Résolution des équations de CW dans le plan orbital:

- Hypothèse: $\Delta\gamma = cte$

$$\begin{cases} x = x_0 + 6(\theta - s)z_0 + \frac{4s - 3\theta}{\omega} \dot{x}_0 + \frac{2}{\omega}(1 - c)\dot{z}_0 + \frac{1}{\omega^2} \left[4(1 - c) - \frac{3}{2}\theta^2 \right] \Delta\gamma_x + \frac{2}{\omega}(\theta - s)\Delta\gamma_z \\ z = (4 - 3c)z_0 + \frac{2}{\omega}(c - 1)\dot{x}_0 + \frac{s}{\omega}\dot{z}_0 + \frac{2}{\omega^2}(\theta - s)\Delta\gamma_x + \frac{1 - c}{\omega^2}\Delta\gamma_z \end{cases}$$

$$\theta = \omega(t - t_0)$$

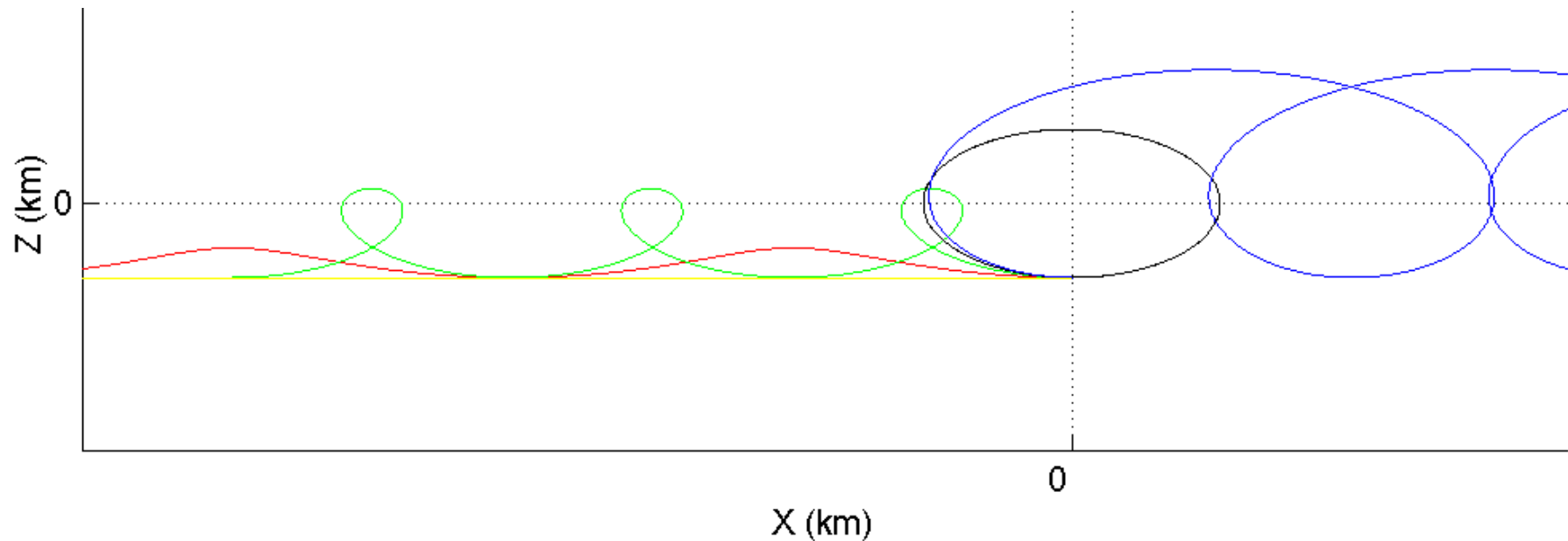
$$s = \sin \theta, c = \cos \theta$$

$$x_0, z_0 / \dot{x}_0, \dot{z}_0 = \text{positions / vitesses à la date } t_0$$

(2) Les équations de Clohessy-Wiltshire

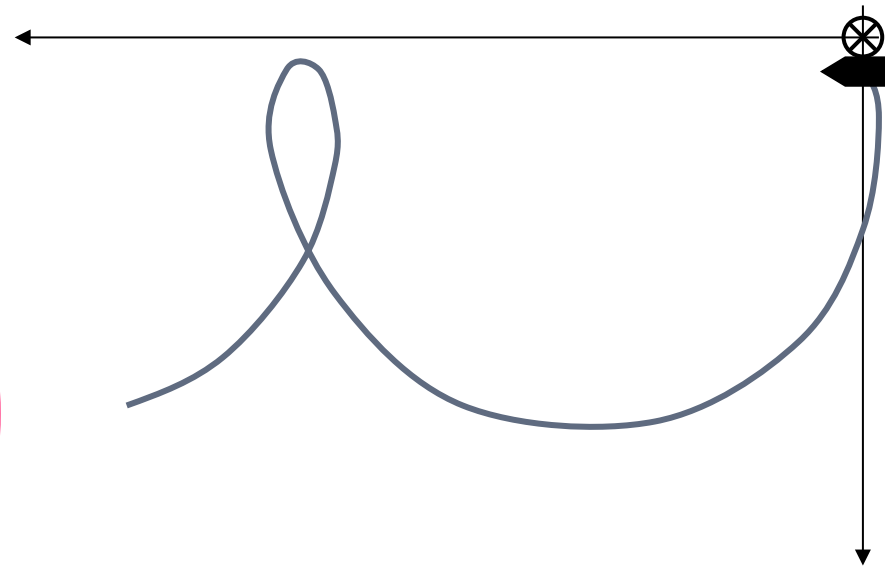
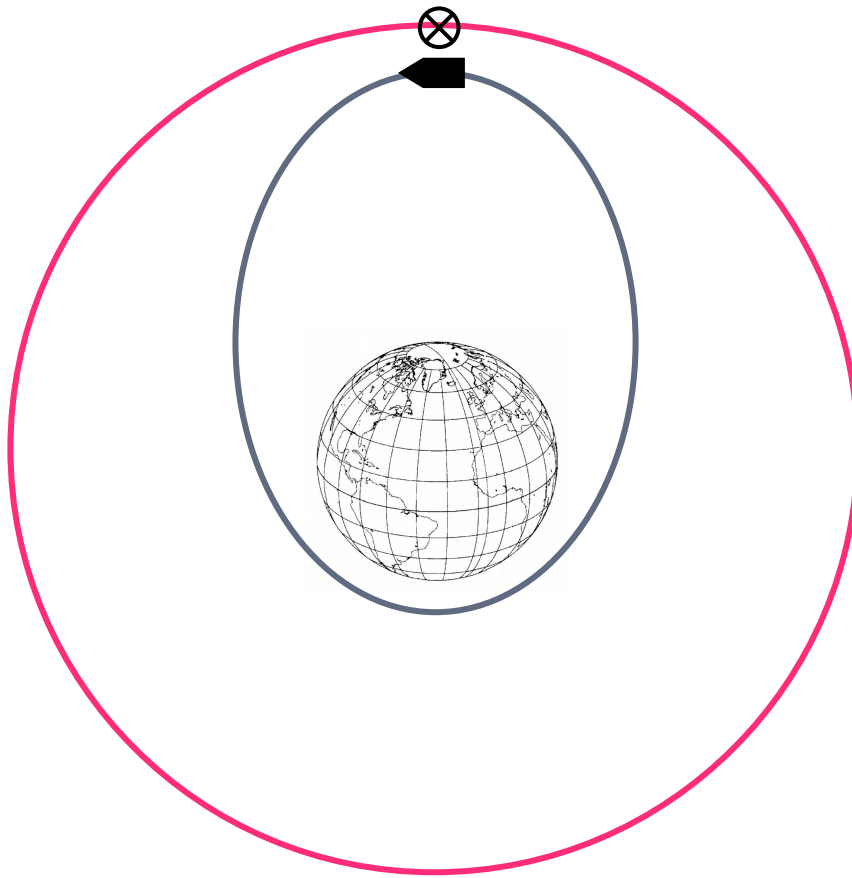
Exemples de mouvement relatif...

- Position relative du chasseur en orbite elliptique
- Résultat: une cycloïde
- Illustration:



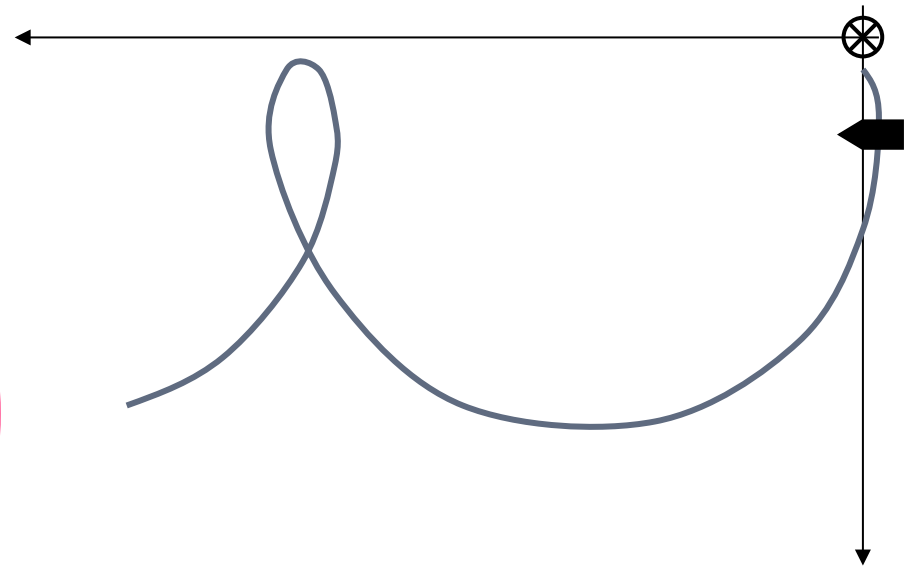
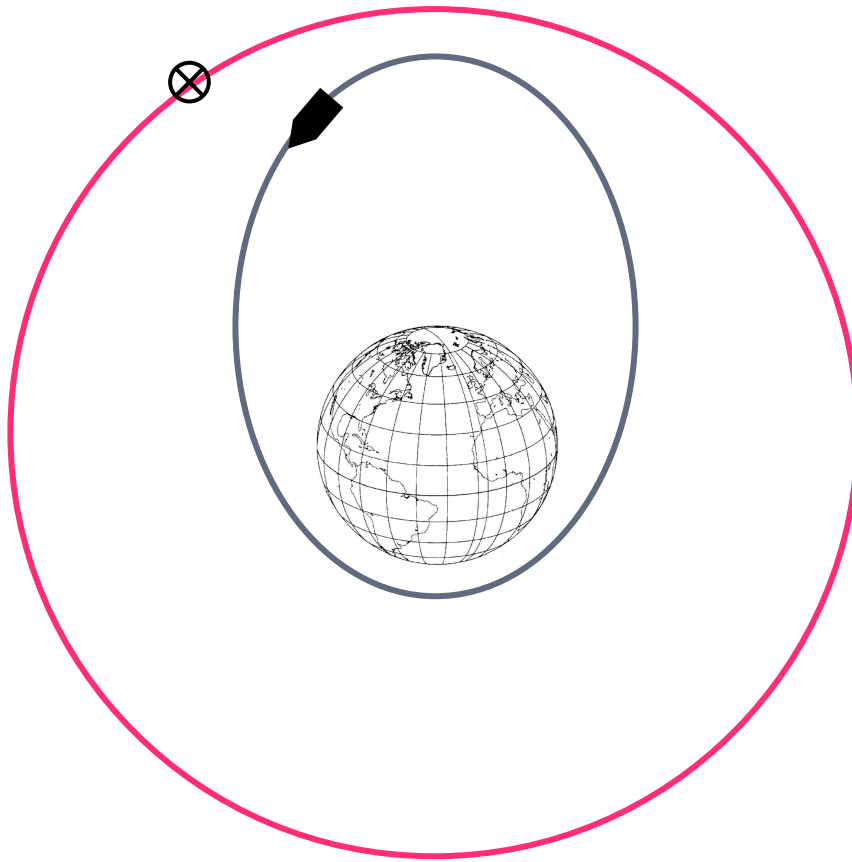
(2) Les équations de Clohessy-Wiltshire

Exemple intuitif:



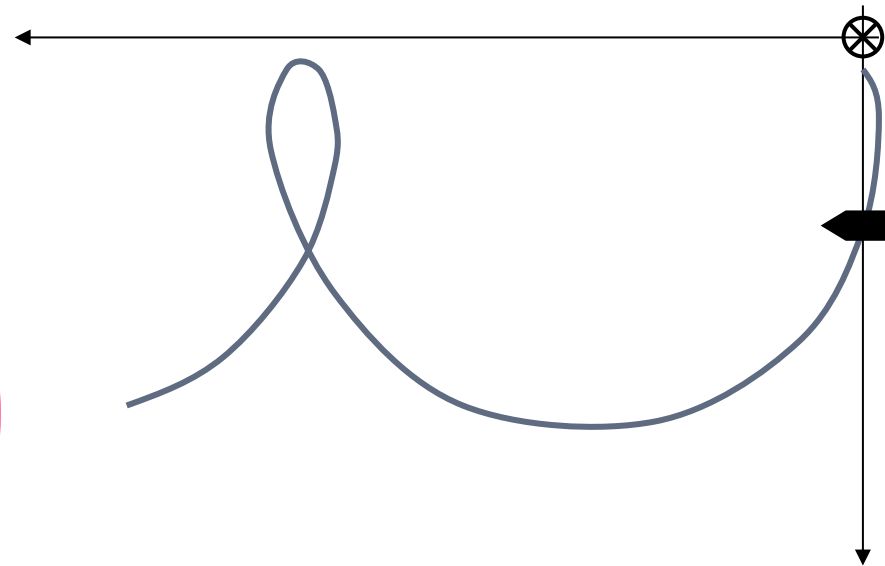
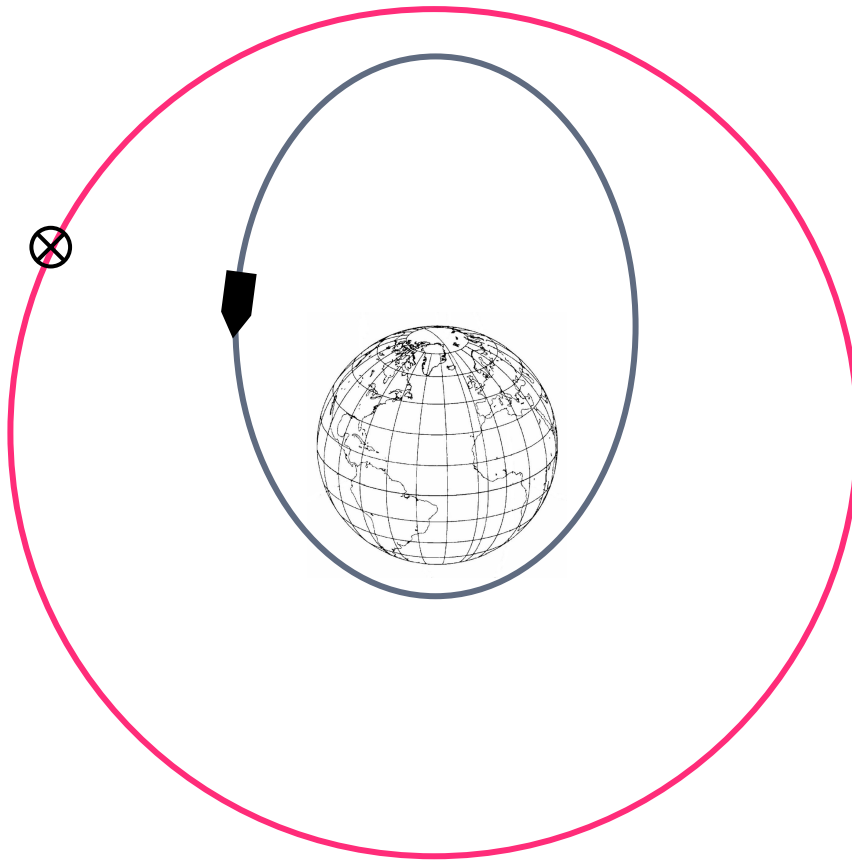
(2) Les équations de Clohessy-Wiltshire

Exemple intuitif:



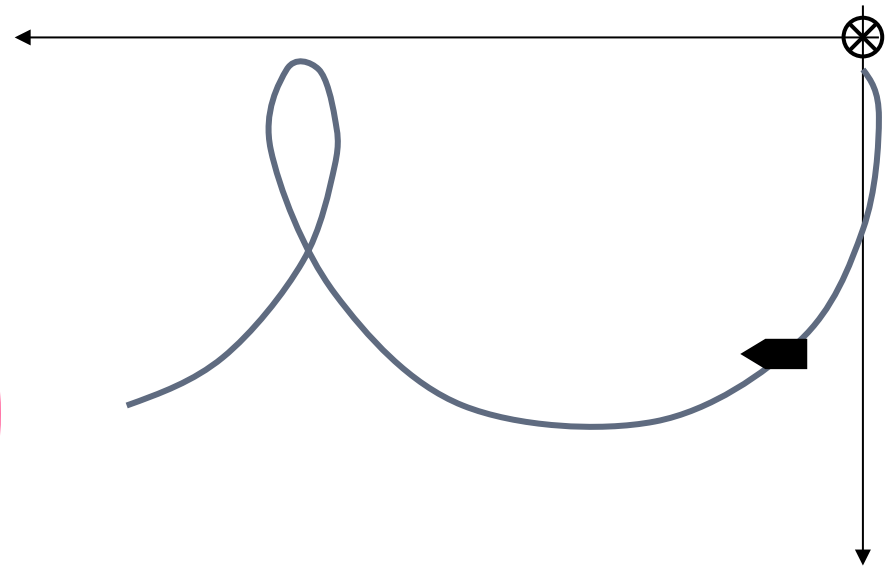
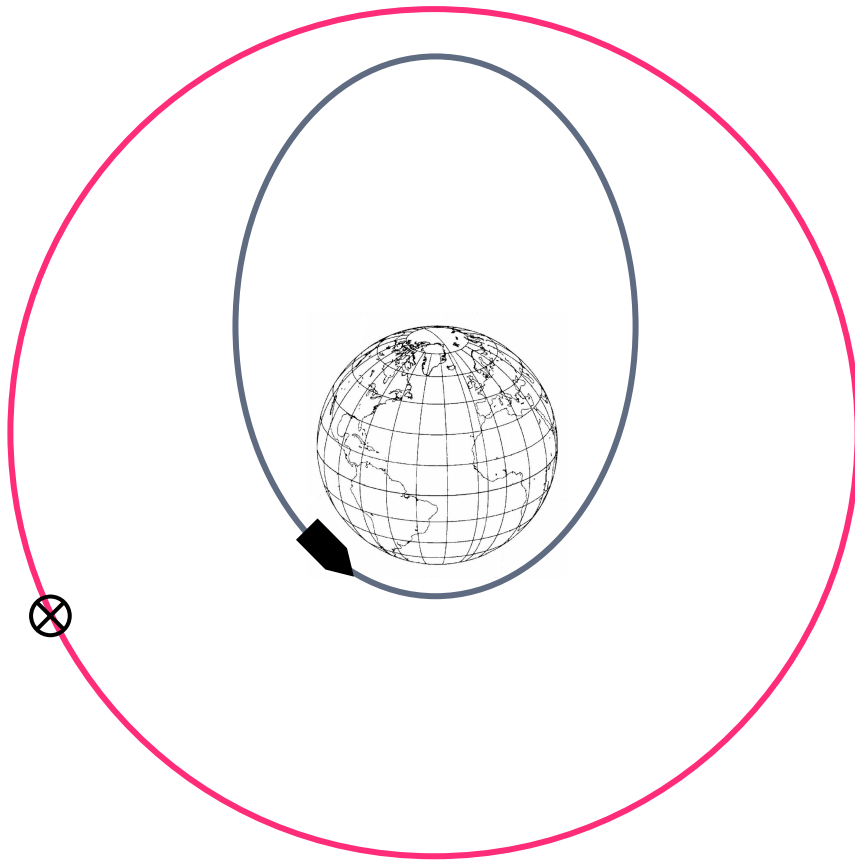
(2) Les équations de Clohessy-Wiltshire

Exemple intuitif:



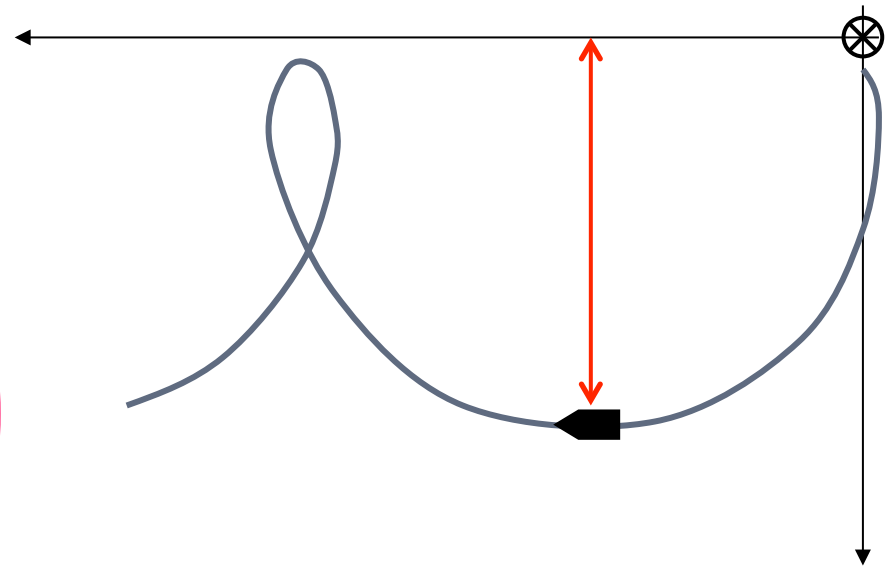
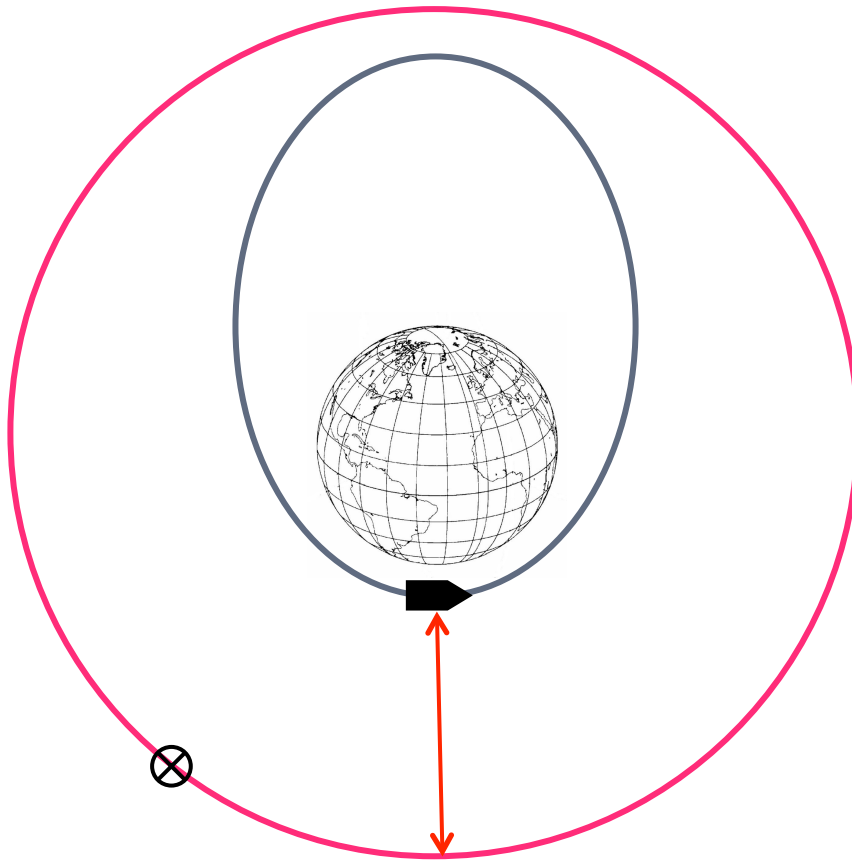
(2) Les équations de Clohessy-Wiltshire

Exemple intuitif:



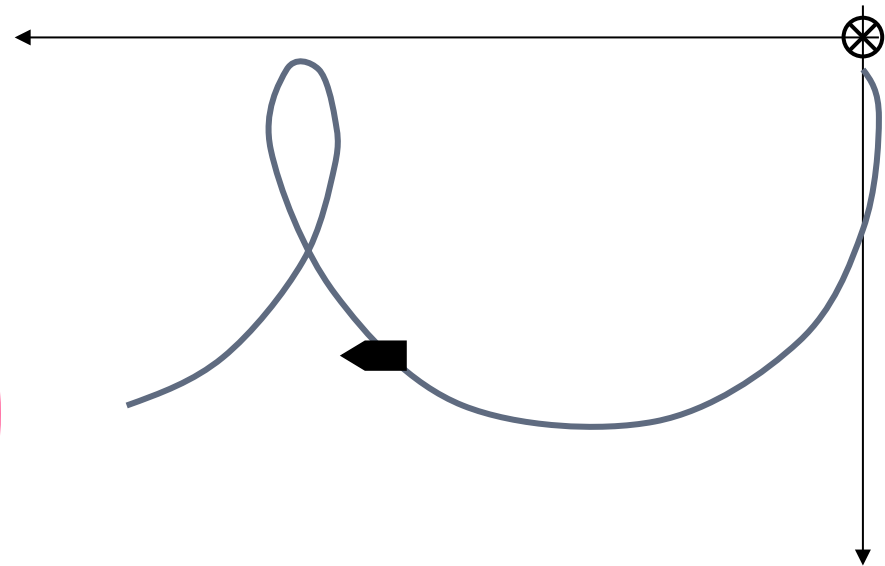
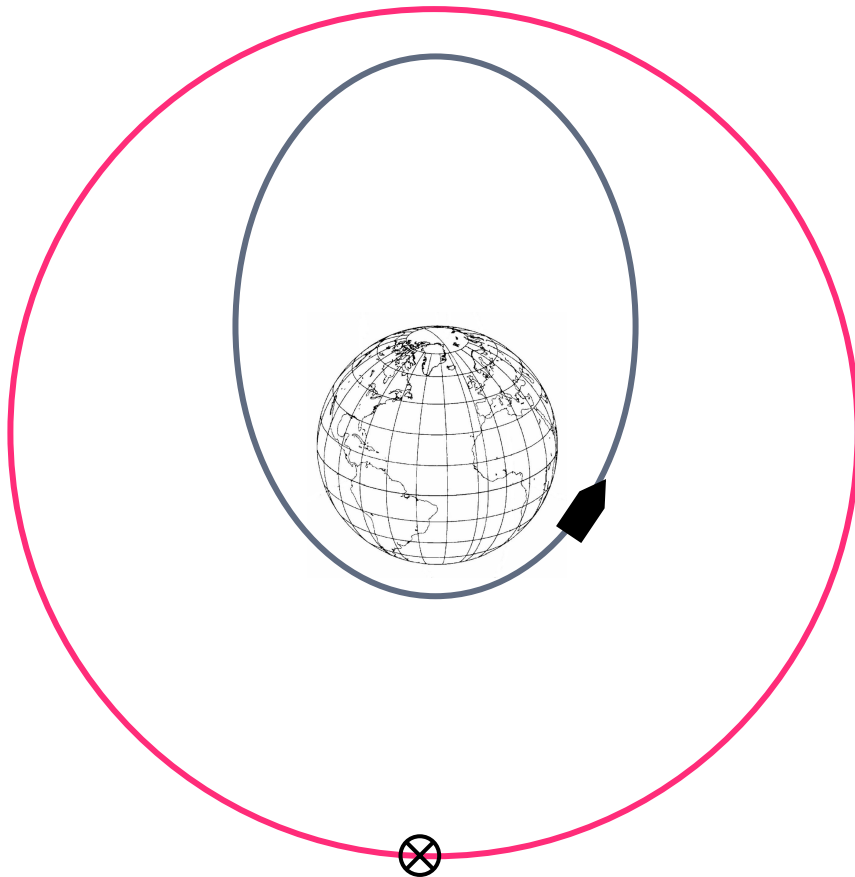
(2) Les équations de Clohessy-Wiltshire

Exemple intuitif:



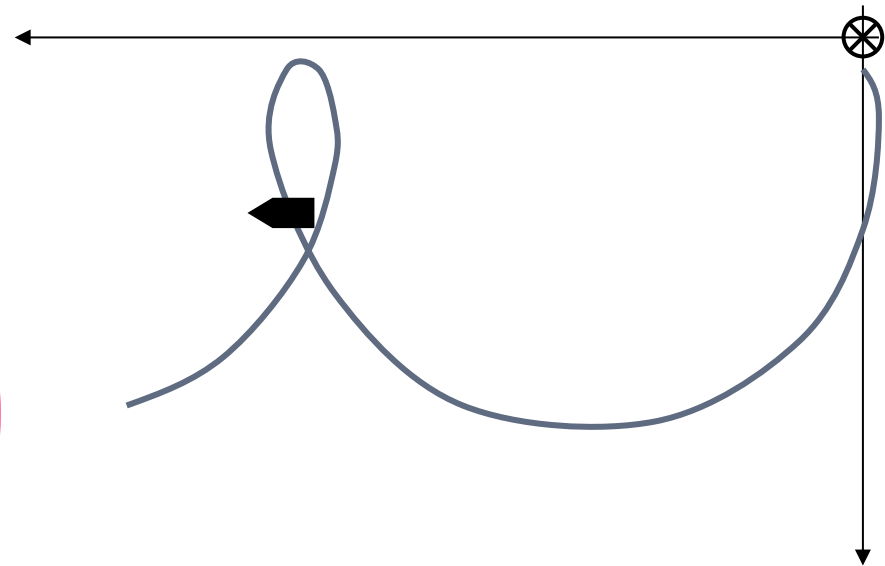
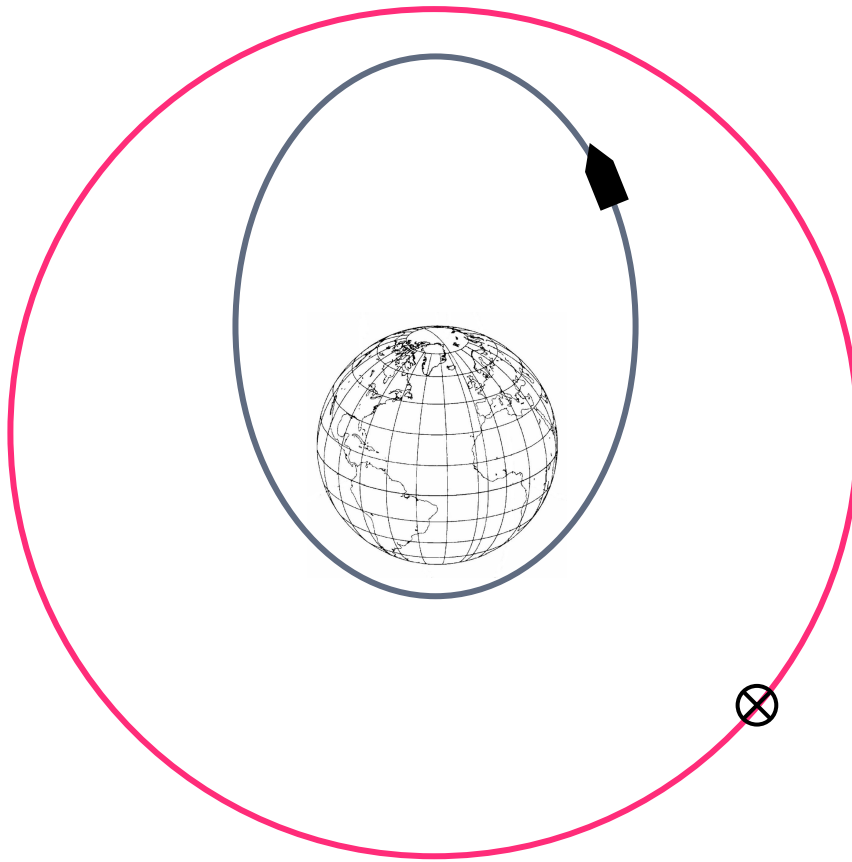
(2) Les équations de Clohessy-Wiltshire

Exemple intuitif:



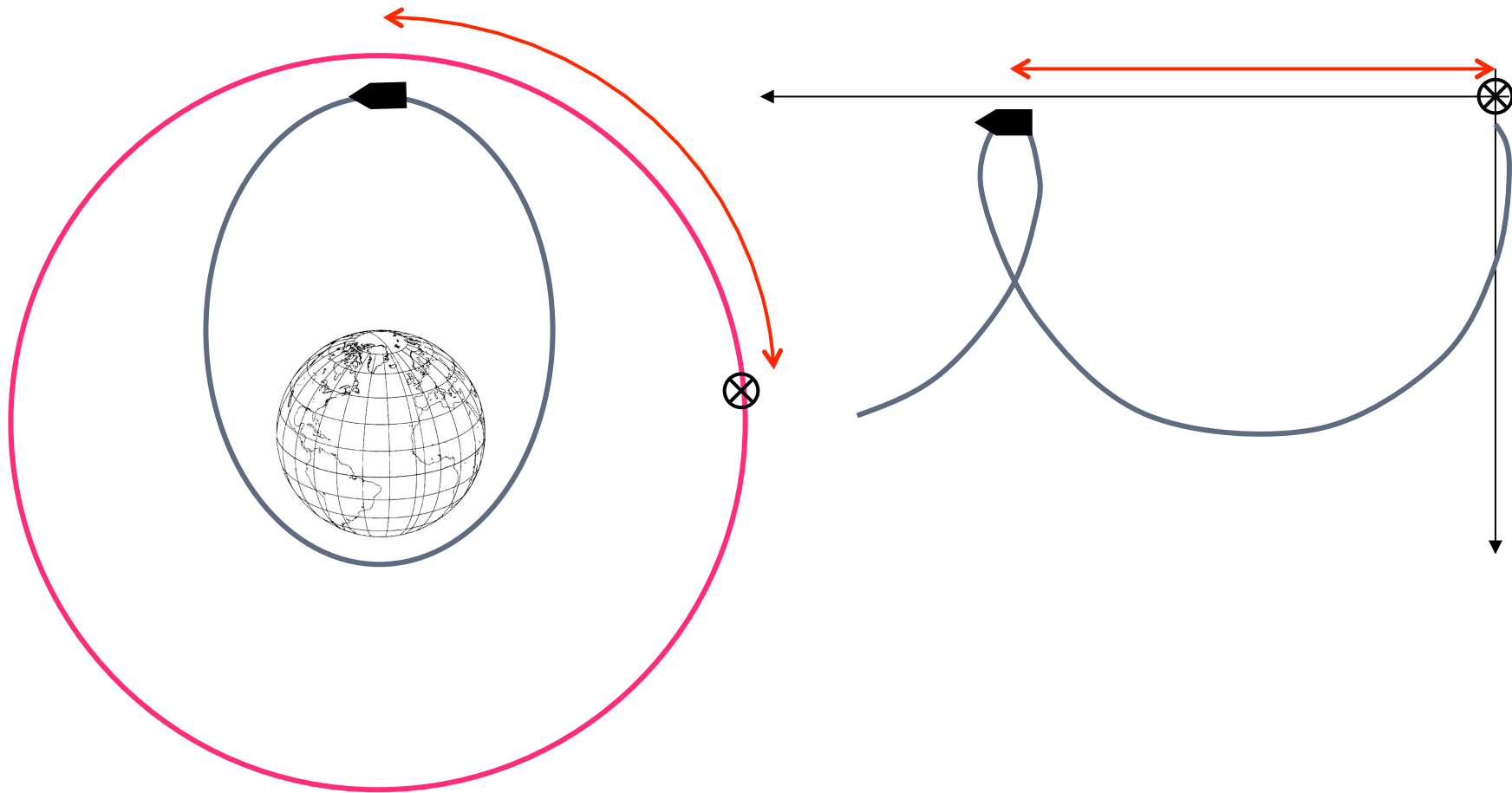
(2) Les équations de Clohessy-Wiltshire

Exemple intuitif:



(2) Les équations de Clohessy-Wiltshire

Exemple intuitif:



Plan

- (1) Introduction au mouvement relatif orbital: enjeux historiques et avenir
- (2) Les équations de Clohessy-Wiltshire
- (3) Application: contraintes et stratégies de rendez-vous d'une navette avec une station orbitale

(3) Théorie des manœuvres d'approche

1) Approche initiale

En partant d'une orbite circulaire inférieure à l'orbite cible (orbite de fin de phasage), on cherche à atteindre l'orbite de la cible.

Options

- Transfert de Hohmann: deux poussées impulsionnelles selon X.
- Transfert à poussée continue selon X.

(3) Théorie des manœuvres d'approche

Transfert à poussée continue

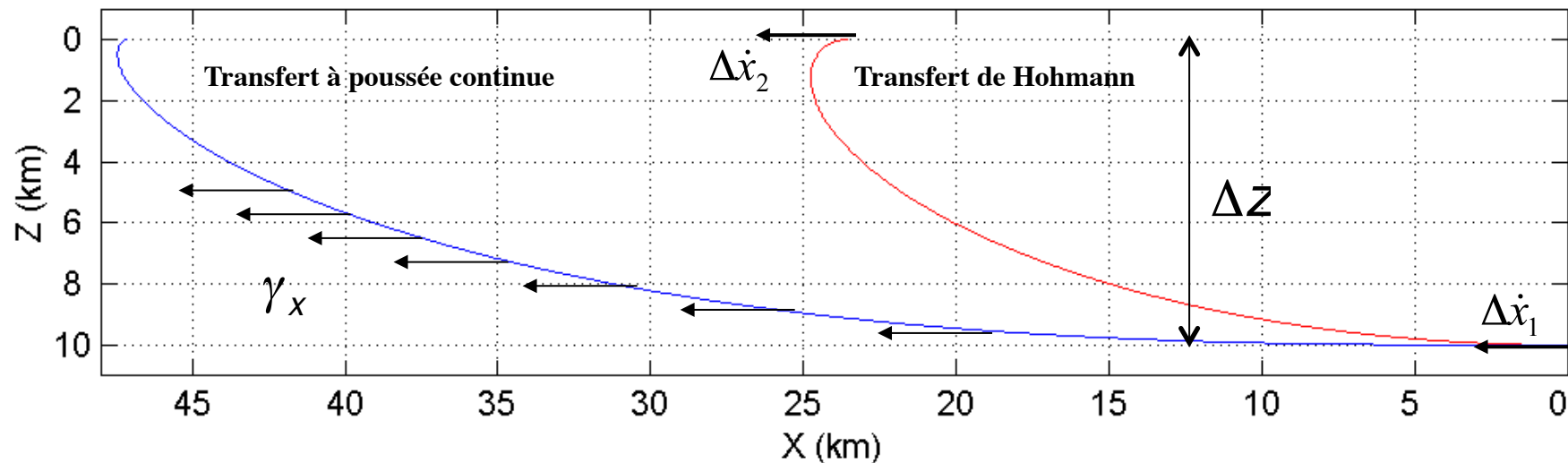
Paramètres:

$$\begin{cases} \gamma_x = \frac{\omega^2}{4\pi} \Delta z \\ \Delta t = T \\ \Delta V_{\text{tot}} = \gamma_x T = \frac{\omega}{2} \Delta z \end{cases}$$

Transfert de Hohmann

Paramètres:

$$\begin{cases} \Delta \dot{x}_1 = \Delta \dot{x}_2 = \frac{\omega}{4} \Delta z \\ \Delta t = T / 2 \\ \Delta V_{\text{tot}} = \frac{\omega}{2} \Delta z \end{cases}$$



(3) Théorie des manœuvres d'approche

2) Attente à l'altitude cible

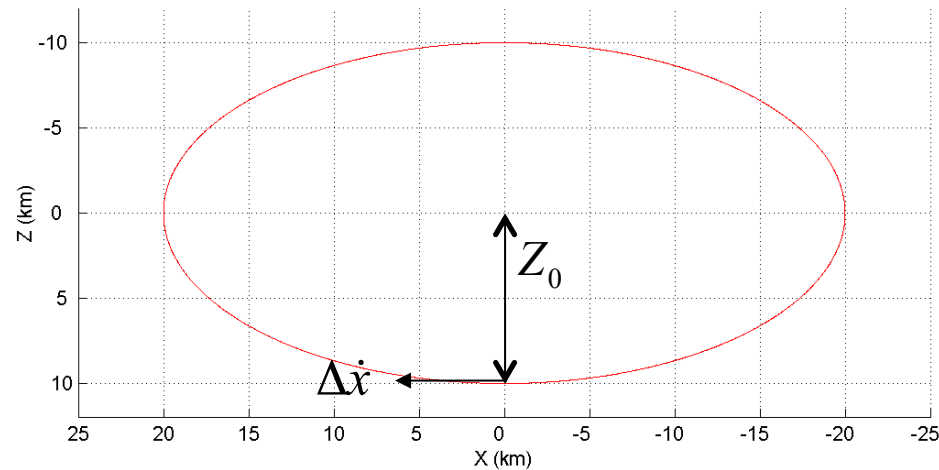
On cherche à rester à une distance/altitude stable par rapport à la cible.

Options

- Point d'attente: même orbite que la cible, mais déphasée.
- Ellipse d'attente: orbite de même période

ex:

$$\Delta \dot{x} = \frac{1}{2} \omega Z_0$$



(3) Théorie des manœuvres d'approche

3) Approche finale

On cherche à se rapprocher de la cible, en partant d'une position sur l'orbite cible

Options

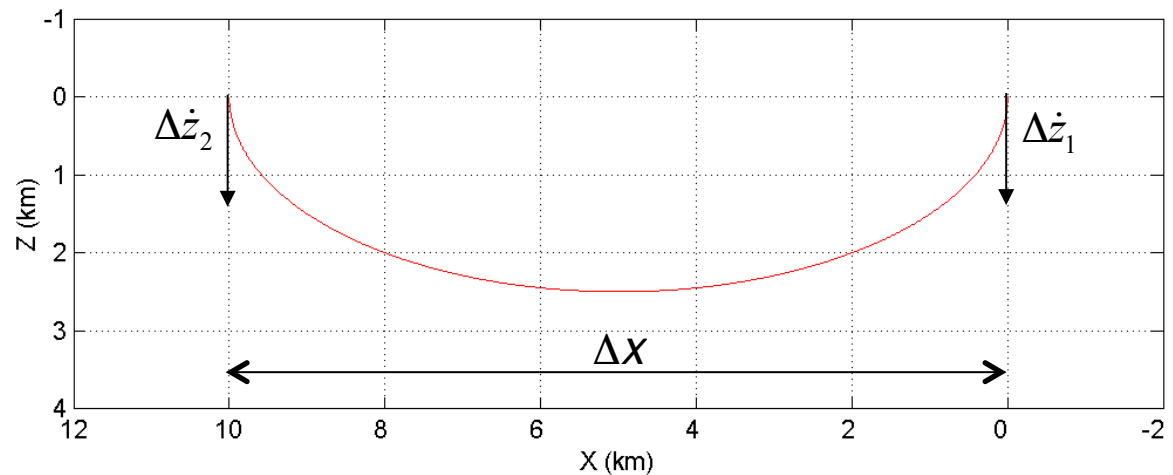
- Transfert en deux poussées selon Z
- Transfert en deux poussées selon X
- Transfert à poussée continue selon Z

(3) Théorie des manœuvres d'approche

Transfert en deux poussées selon Z

Paramètres:

$$\left\{ \begin{array}{l} \Delta \dot{z}_1 = \Delta \dot{z}_2 = \frac{\omega}{4} \Delta x \\ \Delta t = T / 2 \\ \Delta V_{\text{tot}} = \frac{\omega}{2} \Delta x \end{array} \right.$$



Intérêt

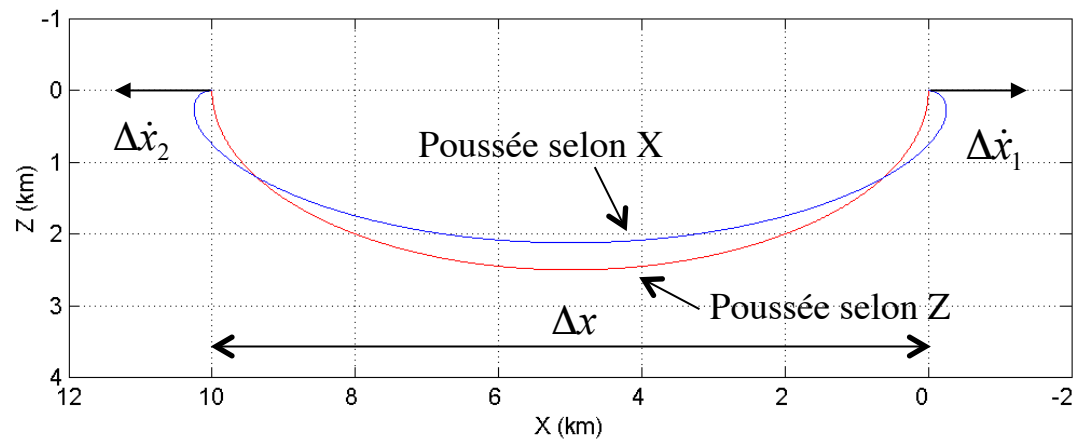
- Le chasseur reste sur une orbite stable, car la poussée selon Z ne modifie pas la période.

(3) Théorie des manœuvres d'approche

Transfert en deux poussées selon X

Paramètres:

$$\begin{cases} \Delta \dot{x}_2 = -\Delta \dot{x}_1 = \frac{\omega}{4} \Delta x \\ \Delta t = T \\ \Delta V_{\text{tot}} = \frac{\omega}{3\pi} \Delta x \end{cases}$$



Intérêt

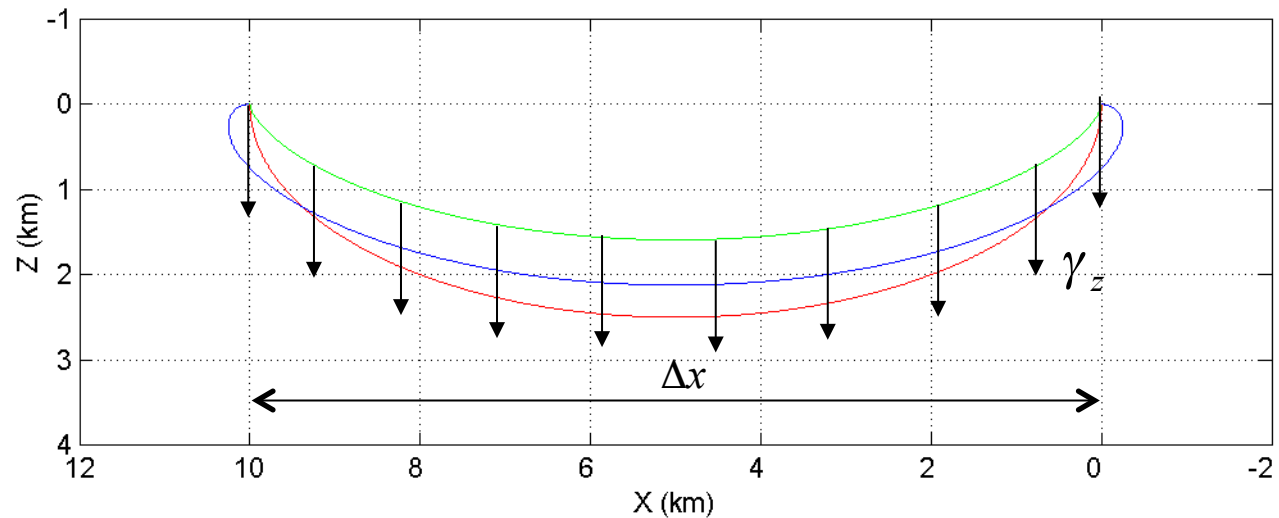
- Coût moindre

(3) Théorie des manœuvres d'approche

Transfert à poussée continue selon Z

Paramètres:

$$\left\{ \begin{array}{l} \gamma_z = \frac{\omega^2}{4\pi} \Delta x \\ \Delta t = T \\ \Delta V_{\text{tot}} = \frac{\omega}{2} \Delta x \end{array} \right.$$



Intérêt

- On reste sur une orbite stable, car la poussée selon Z ne modifie pas la période.
- Possibilité de contrôle et guidage pendant la manœuvre.

(3) Théorie des manœuvres d'approche

4) Translation finale

On cherche à se rapprocher de la cible sur une trajectoire rectiligne, éventuellement jusqu'au contact entre les deux véhicules.

Option

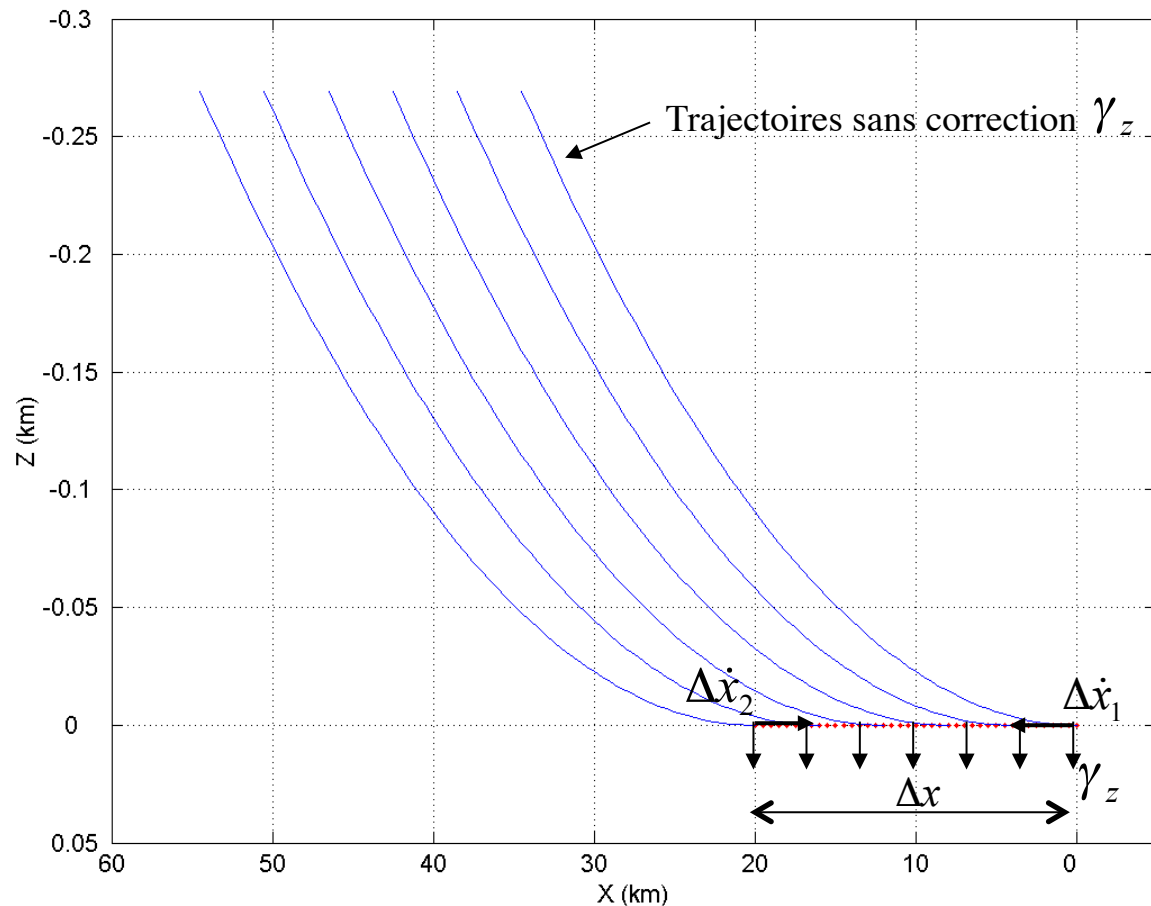
- Transfert en deux poussées selon X , avec poussée continue selon Z pour contrer l'accélération naturelle en direction de $-Z$.

(3) Théorie des manœuvres d'approche

Translation finale

Paramètres:

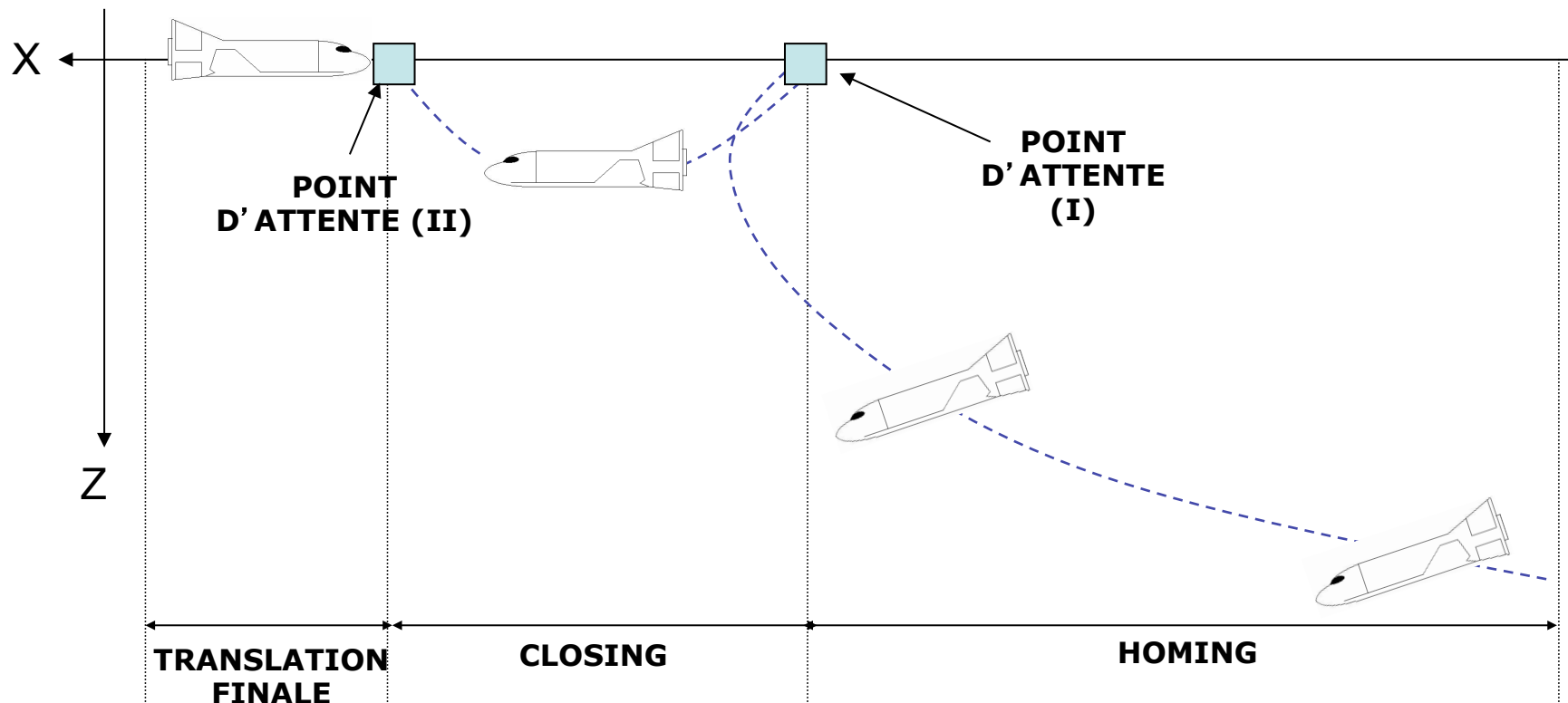
$$\begin{cases} \gamma_z = -2\omega\dot{x} \text{ et } \Delta\dot{x}_1 = -\Delta\dot{x}_2 \\ \Delta t = \Delta x / \dot{x} \\ \Delta V_{\text{tot}} = 2\left(\frac{1}{\Delta t} + \omega\right)\Delta x \end{cases}$$



(3) Application: spécifications de RDV (cas Hermès)

Définition des phases finales du RDV

- *Homing, Point d'attente (I), Closing, Point d'attente (II)*
 - ⇒ Navigation et contrôle du chasseur par GPS relatif
- *Translation finale, docking*
 - ⇒ Navigation optique par senseur de rendez-vous



(3) Application: spécifications de RDV (cas Hermès)

- **Navigation et contrôle du chasseur par GPS relatif**
Homing et Closing

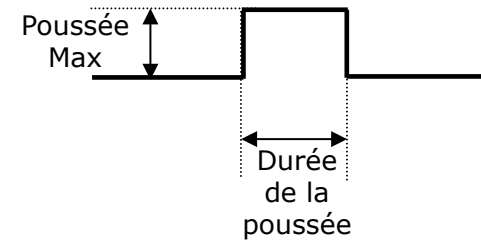
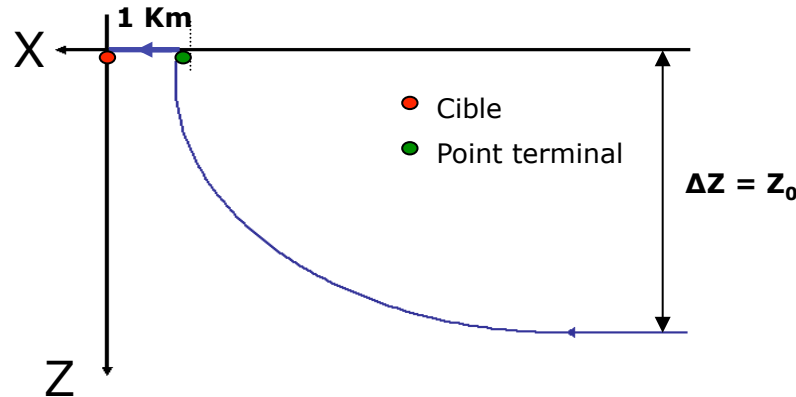
Les critères de sélection des stratégies de guidage-contrôle pour ces phases sont, par ordre décroissant d'importance :

- **Sécurité: risques de collisions chasseur-cible**
- **Performance: dispersions sur l'état terminal**
- **Consommation d'ergols**
- **Robustesse: minimisation des cas d'abandon de la mission**
- **Simplicité algorithmique**
- **Durée de transfert.**

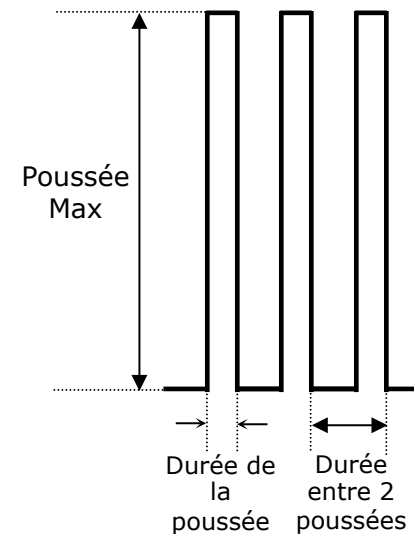
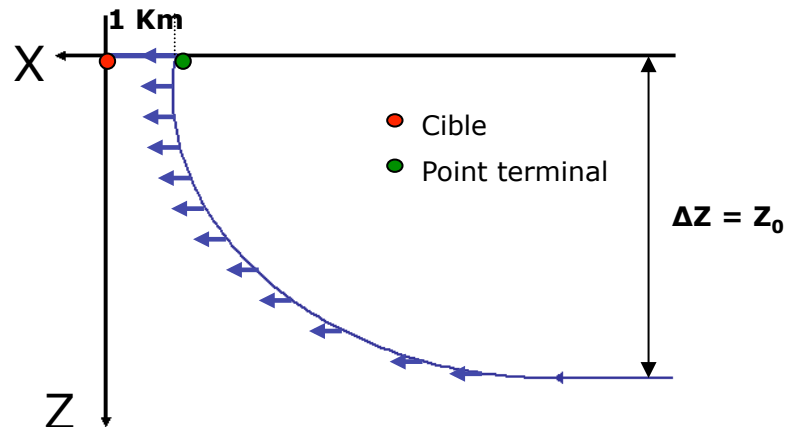
(3) Application: spécifications de RDV (cas Hermès)

Homing:

- Choix d'un transfert en 2 poussées



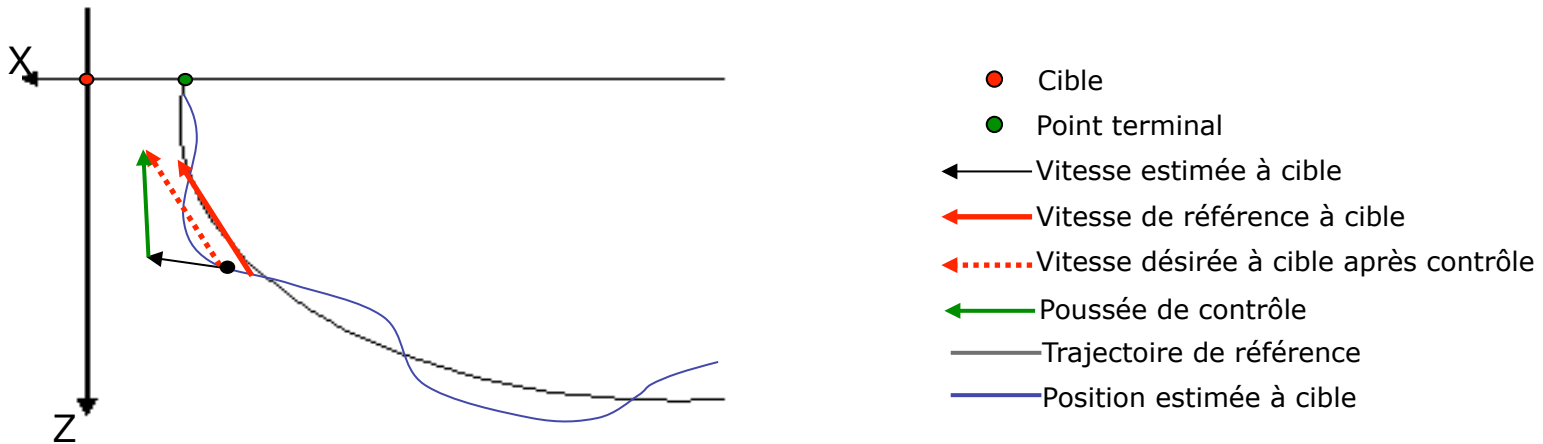
- Choix d'un transfert en N poussées



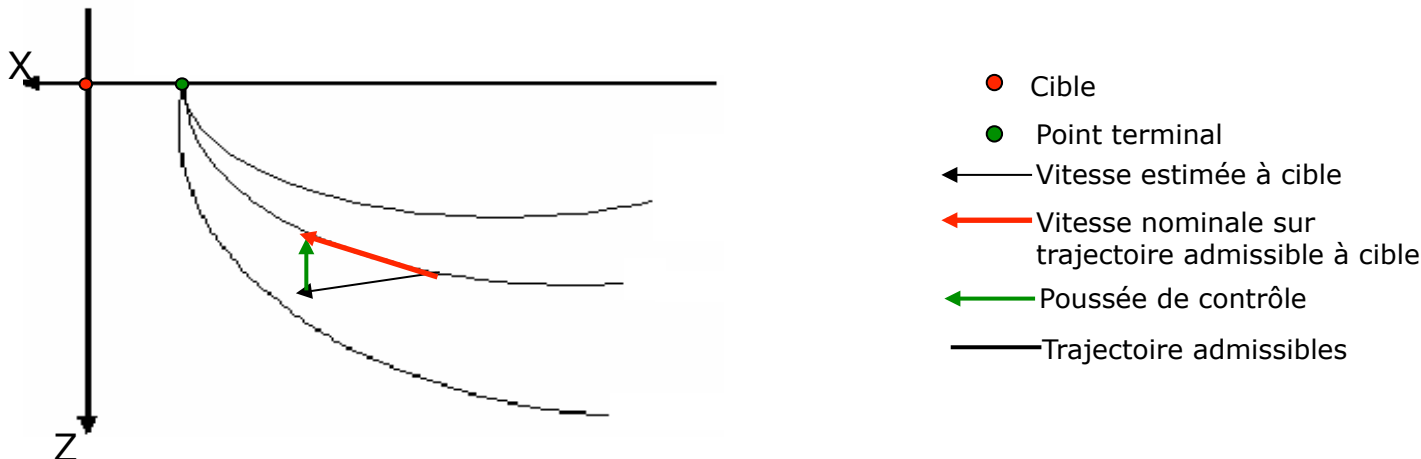
(3) Application: spécifications de RDV (cas Hermès)

Homing:

- Contrôle continu sur trajectoire



- Guidage-contrôle sur point terminal



(3) Application: spécifications de RDV (cas Hermès)

Homing:

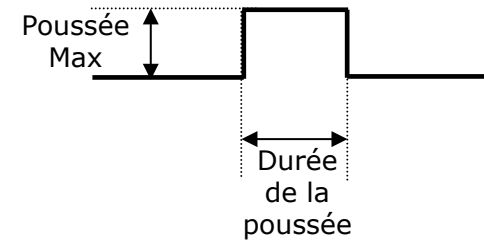
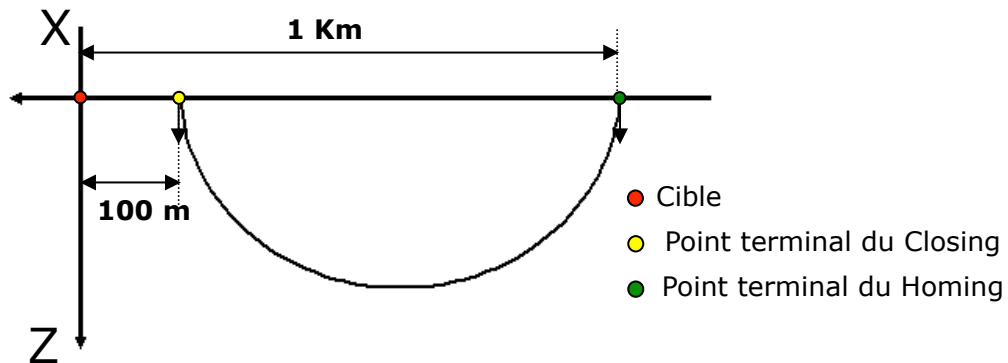
Stratégies	Performances	Robustesse	Consommation	Simplicité algorithmique
2 poussées avec contrôle sur le point terminal	-	-	+	--
N poussées avec contrôle continu sur trajectoire	+	+	-	+
N poussées avec contrôle sur le point terminal	+	++	+	-

⇒ La stratégie retenue est donc un guidage-contrôle point terminal N poussées suivant X.

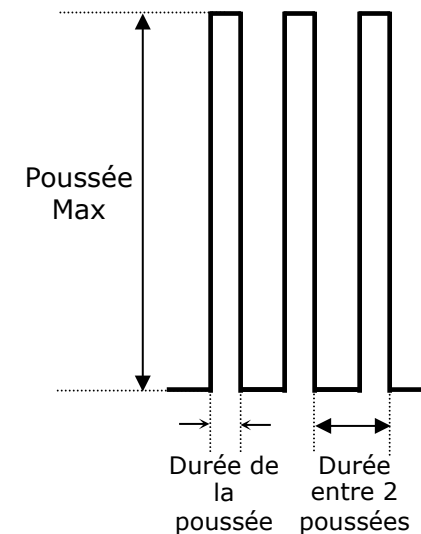
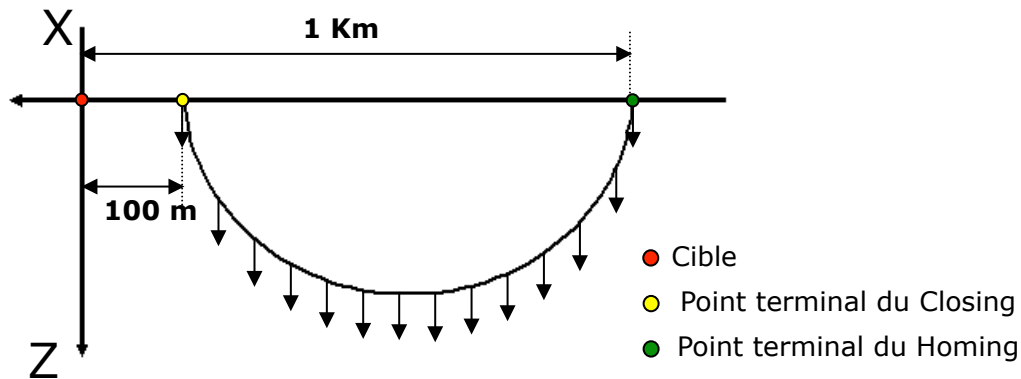
(3) Application: spécifications de RDV (cas Hermès)

Closing:

- Choix d'un transfert en 2 poussées



- Choix d'un transfert en N poussées



(3) Application: spécifications de RDV (cas Hermès)

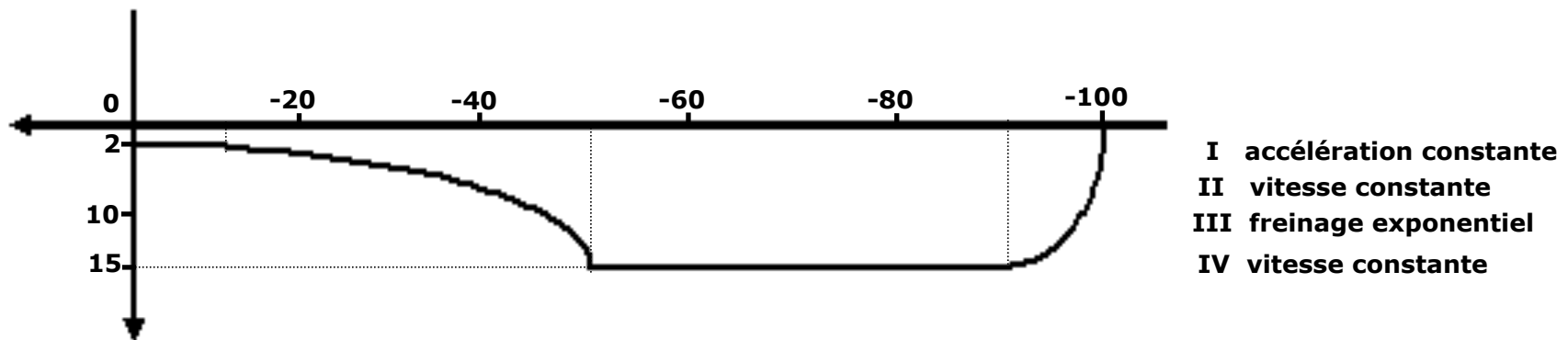
Closing:

Stratégies	Performances	Robustesse	Consommation	Simplicité algorithmique
3 poussées suivant Z contrôle sur le point terminal	-	-	+	+
N poussées suivant Z contrôle continu sur trajectoire	+	++	-	++
N poussées suivant Z contrôle sur le point terminal	+	+	-	-

⇒ La stratégie retenue est donc un guidage-contrôle point terminal N poussées suivant Z.

(3) Application: spécifications de RDV (cas Hermès)

- **Navigation et contrôle du chasseur par senseur de RDV**
Translation finale, docking



Contraintes de l'amarrage	
Vitesse d'amarrage	2cm/s < vitesse < 3,5 cm/s
Écart latéral maximal	< 7,5 cm
Vitesses angulaires résiduels	> 0,1 deg/s
Écarts angulaires maxima	< 2 deg

Merci de votre attention ...

Clohessy-Wiltshire

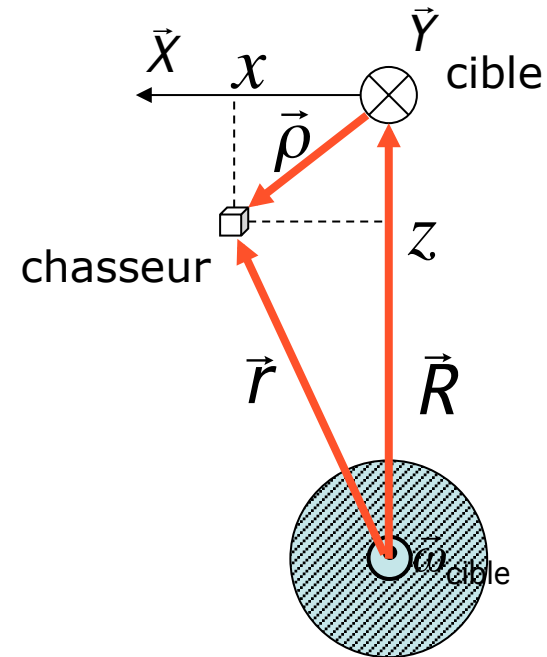
Démonstration des équations:

- PFD: $\vec{F} = m\vec{\gamma}$
- On pose:

$$\ddot{\vec{r}} = \frac{-\mu}{r^3} \vec{r} + \underbrace{\Delta\vec{\gamma}}_{\text{perturbation ou poussée moteur}}$$

$$\ddot{\vec{r}} = \ddot{\vec{R}}_I + \ddot{\vec{\rho}}_I = \frac{-\mu}{\|\vec{R}_I + \vec{\rho}_I\|^3} (\vec{R}_I + \vec{\rho}_I) + \Delta\vec{\gamma}$$

$$\text{où } \|\vec{R}_I + \vec{\rho}_I\|^{-3} = [(\vec{R}_I + \vec{\rho}_I) \cdot (\vec{R}_I + \vec{\rho}_I)]^{-3/2}$$



Clohessy-Wiltshire

$$\begin{aligned}
 \|\vec{R}_I + \vec{\rho}_I\|^{-3} &= \left[R^2 + 2(\vec{R}_I + \vec{\rho}_I) + \rho^2 \right]^{-3/2} \\
 &= R^{-3} \left[1 + \frac{2(\vec{R}_I + \vec{\rho}_I)}{R^2} + \frac{\rho^2}{R^2} \right]^{-3/2} \\
 &\cong R^{-3} \underbrace{\left[1 + \frac{2(\vec{R}_I + \vec{\rho}_I)}{R^2} \right]}_{\text{de la forme } (1+x)^p}^{-3/2} \quad \text{avec } \rho \ll R
 \end{aligned}$$

On effectue un développement limité :

$$\|\vec{R}_I + \vec{\rho}_I\|^{-3} = R^{-3} \left[1 - \frac{3(\vec{R}_I \cdot \vec{\rho}_I)}{R^2} + \dots \right]$$

Clohessy-Wiltshire

Passons dans le repère orbital (cible) \mathfrak{R} .

L'accélération dans le repère non inertiel devient :

$$\ddot{\vec{\rho}}_I = \ddot{\vec{\rho}}_{\mathfrak{R}} + \underbrace{2(\vec{\omega} \times \dot{\vec{\rho}}_I)}_{\text{a. coriolis}} + \underbrace{\vec{\omega} \times (\vec{\omega} \times \vec{\rho}_I)}_{\text{a. "centrifuge"}} + \underbrace{\dot{\vec{\omega}} \times \vec{\rho}_I}_{\text{a. tangentielle}}$$

L'orbite de la cible est Képlérienne circulaire, alors :

$$\dot{\vec{\omega}} = 0 \quad \text{et} \quad \ddot{\vec{R}} = \frac{-\mu}{R^3} \vec{R}.$$

En réunissant les équations on obtient :

$$\ddot{\vec{\rho}}_{\mathfrak{R}} = -2(\vec{\omega} \times \dot{\vec{\rho}}_I) - \vec{\omega} \times (\vec{\omega} \times \vec{\rho}_I) - \frac{-\mu}{R^3} \left(\vec{\rho}_I - \frac{3}{R} \frac{\vec{R}}{R} (\vec{R} \cdot \vec{\rho}_I) \right) - \Delta \vec{\gamma}$$

Clohessy-Wiltshire

Projection des vecteurs sur les axes de \mathfrak{R} :

$$\vec{\omega} = -\omega \vec{Y}, \vec{R} = -R \vec{Z}, \vec{\rho}_I = x \vec{X} + y \vec{Y} + z \vec{Z}$$

$$\bullet \vec{\omega} \times \dot{\vec{\rho}}_I = \begin{vmatrix} \vec{X} & \vec{Y} & \vec{Z} \\ 0 & -\omega & 0 \\ \dot{x} & \dot{y} & \dot{z} \end{vmatrix} = -\omega \dot{z} \vec{X} + \omega \dot{x} \vec{Z}$$

$$\bullet \vec{\omega} \times (\vec{\omega} \times \vec{\rho}_I) = \begin{vmatrix} \vec{X} & \vec{Y} & \vec{Z} \\ 0 & -\omega & 0 \\ -\omega z & 0 & \omega x \end{vmatrix} = -\omega^2 x \vec{X} - \omega^2 z \vec{Z}$$

$$\bullet \vec{R} \cdot \vec{\rho} = -R \vec{Z} \quad \text{et} \quad \frac{\vec{R}}{R} = -\vec{Z}$$

Clohessy-Wiltshire

Finalement :

$$\begin{aligned}\ddot{\vec{\rho}}_{\mathfrak{R}} = & 2\omega(\dot{z}\vec{X} - \dot{x}\vec{Z}) + \omega^2(x\vec{X} + z\vec{Z}) \\ & - \frac{\mu}{R^3} \left(x\vec{X} + y\vec{Y} + z\vec{Z} - \frac{3}{R} \vec{Z}(-Rz) \right) \\ & + \Delta\vec{\gamma}_x\vec{X} + \Delta\vec{\gamma}_y\vec{Y} + \Delta\vec{\gamma}_z\vec{Z}\end{aligned}$$

Et donc selon chaque coordonnée, avec $\frac{\mu}{R^3} = \omega^2$:

$$\begin{cases} \ddot{x} - 2\omega\dot{z} &= \Delta\gamma_x \\ \ddot{y} + \omega^2 y &= \Delta\gamma_y \\ \ddot{z} + 2\omega\dot{x} - 3\omega^2 z &= \Delta\gamma_z \end{cases}$$

